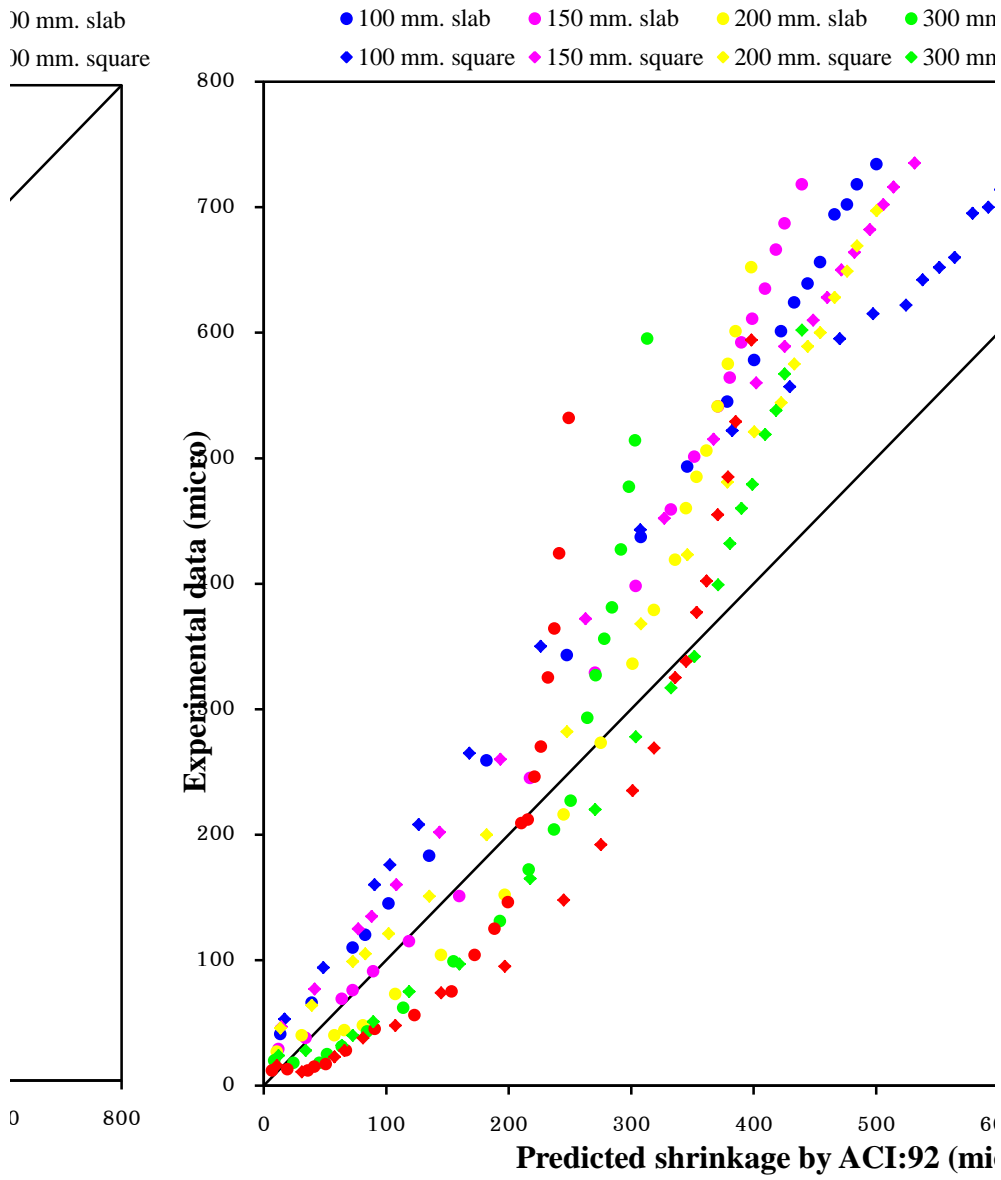
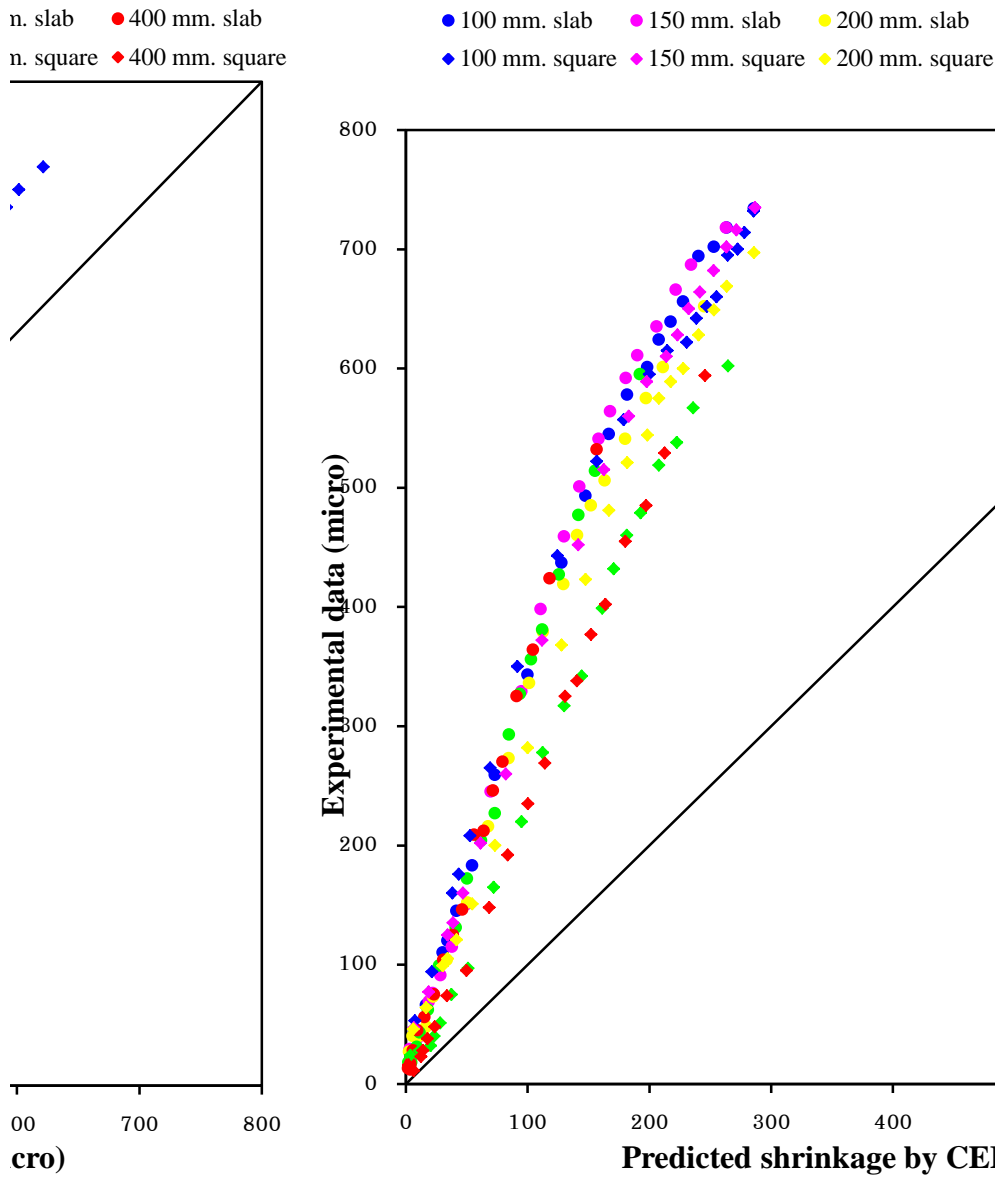


ภาพที่ 4.35 แสดงค่าการหดตัวของผลการทดสอบกับผลการคำนวณของสมาคมคอนกรีตอเมริกัน



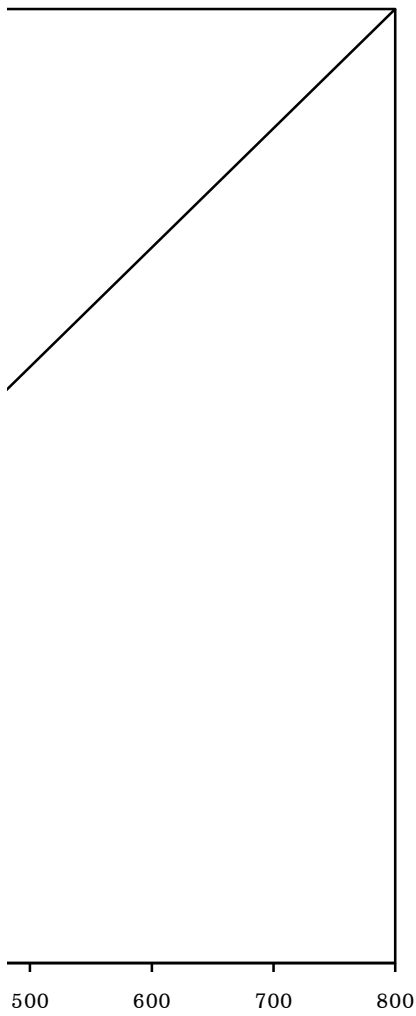
ภาพที่ 4.36 แสดงค่าการหดตัวของผลการทดสอบกับผลการคำนวณของสมาคมค



อเมริกันต่ออเมริกา ปี 1992

ภาพที่ 4.37 แสดงค่าการหดตัวของผลการทดสอบกับผลการคำนวณ

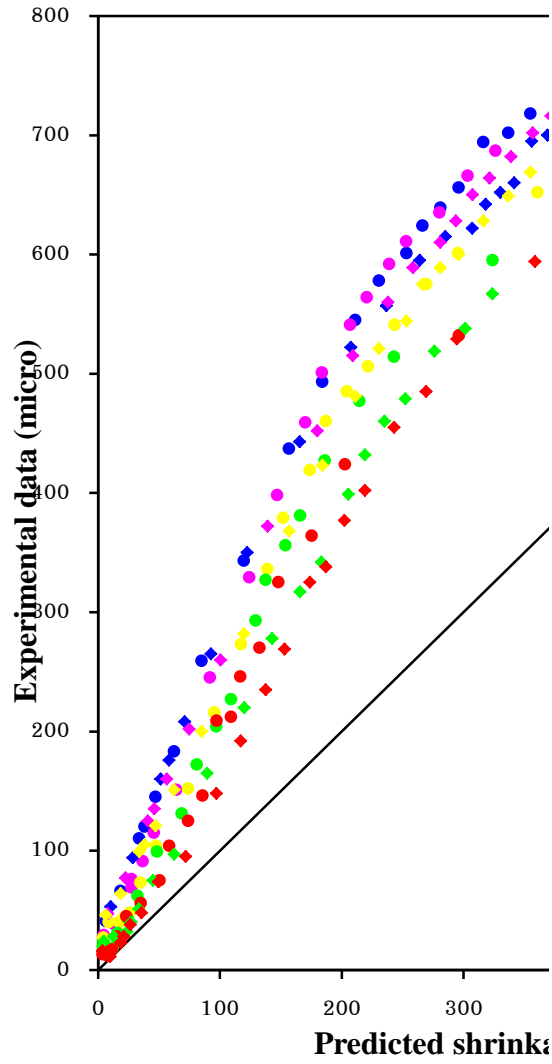
● 300 mm. slab ● 400 mm. slab
 ◆ 300 mm. square ◆ 400 mm. square



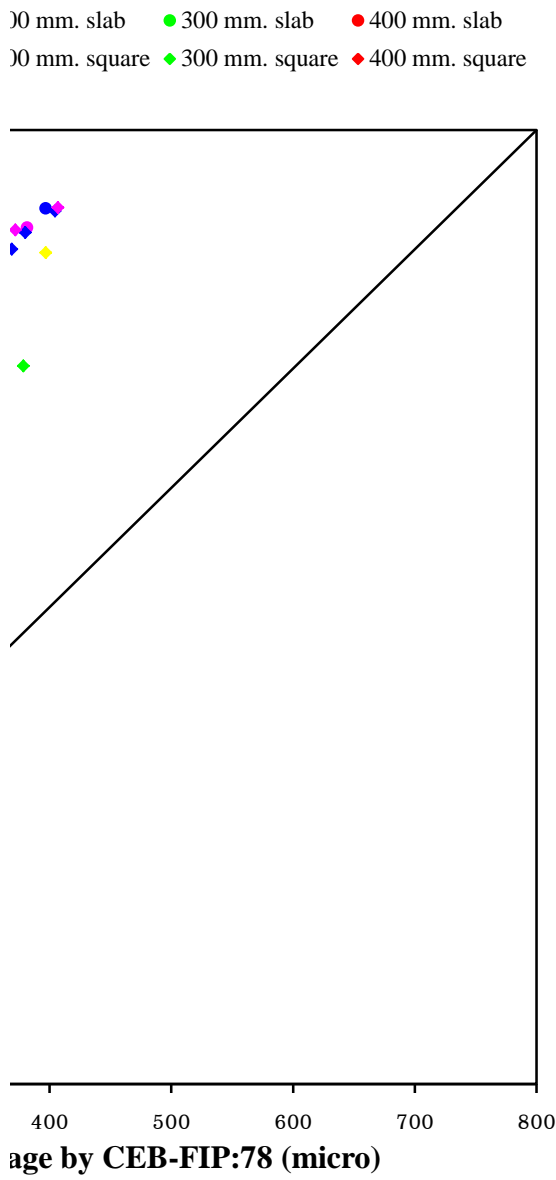
B-FIP:70 (micro)

ของสมาคมคอนกรีตยุโรป ปี 1970

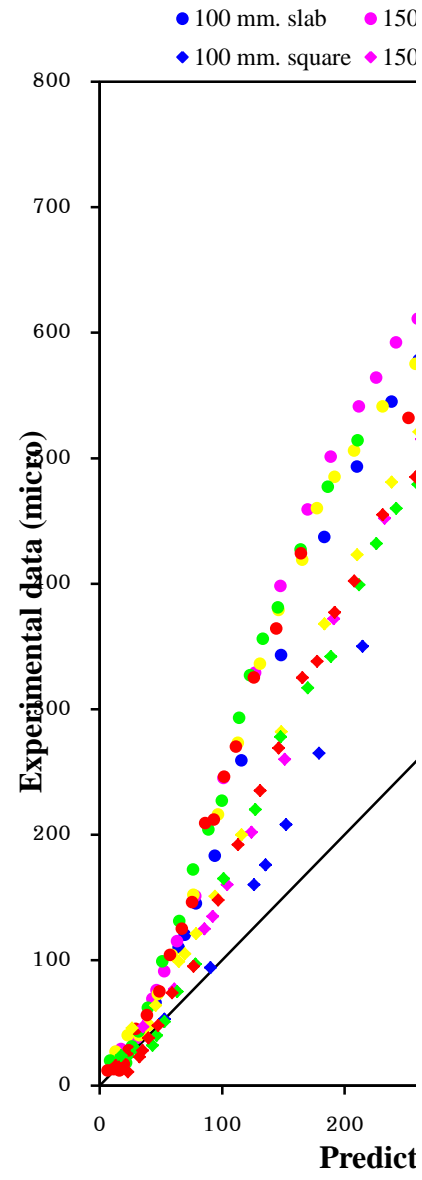
● 100 mm. slab ● 150 mm. slab ● 200 mm. slab
 ◆ 100 mm. square ◆ 150 mm. square ◆ 200 mm. square



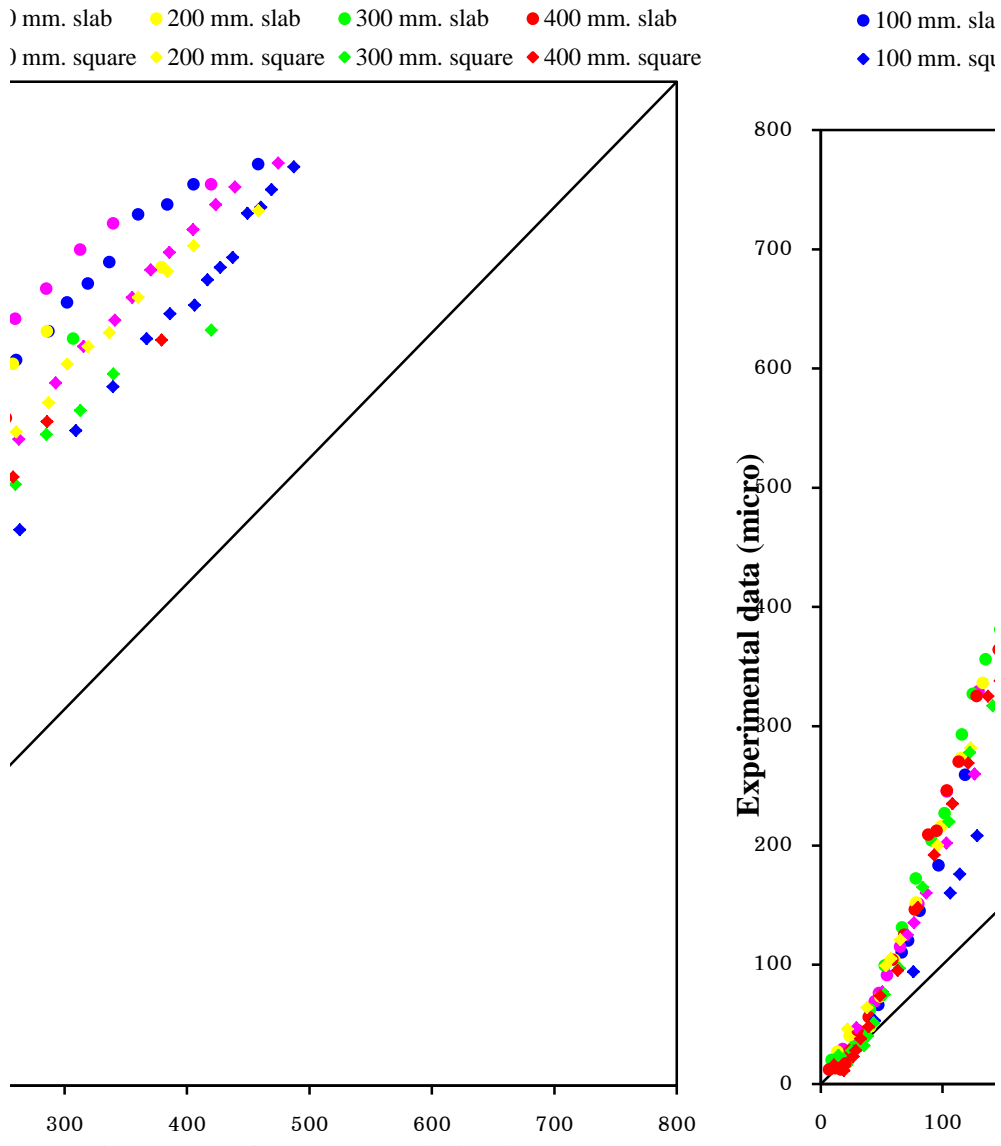
ภาพที่ 4.38 แสดงค่าการหดตัวของผลการทดสอบกับ



ผลการคำนวณของสมาคมคอนกรีตยุโรป ปี 1978



ภาพที่ 4.39 แสดงค่าการหดตัวของผล

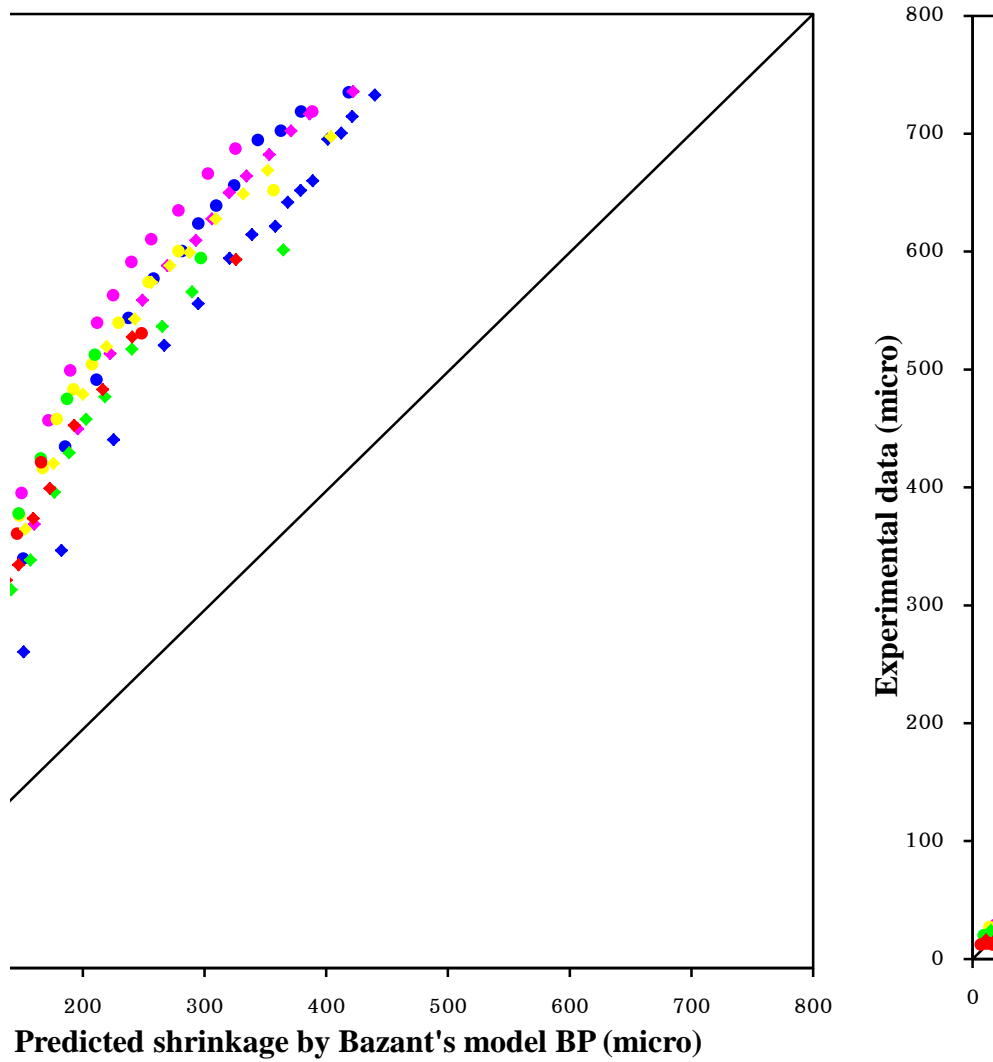


predicted shrinkage by CEB-FIP:90 (micro)

การทดสอบกับผลการคำนวณของสมาคมคอนกรีตยุโรป ปี 1990

ภาพที่ 4.40 แสดงค่าการ

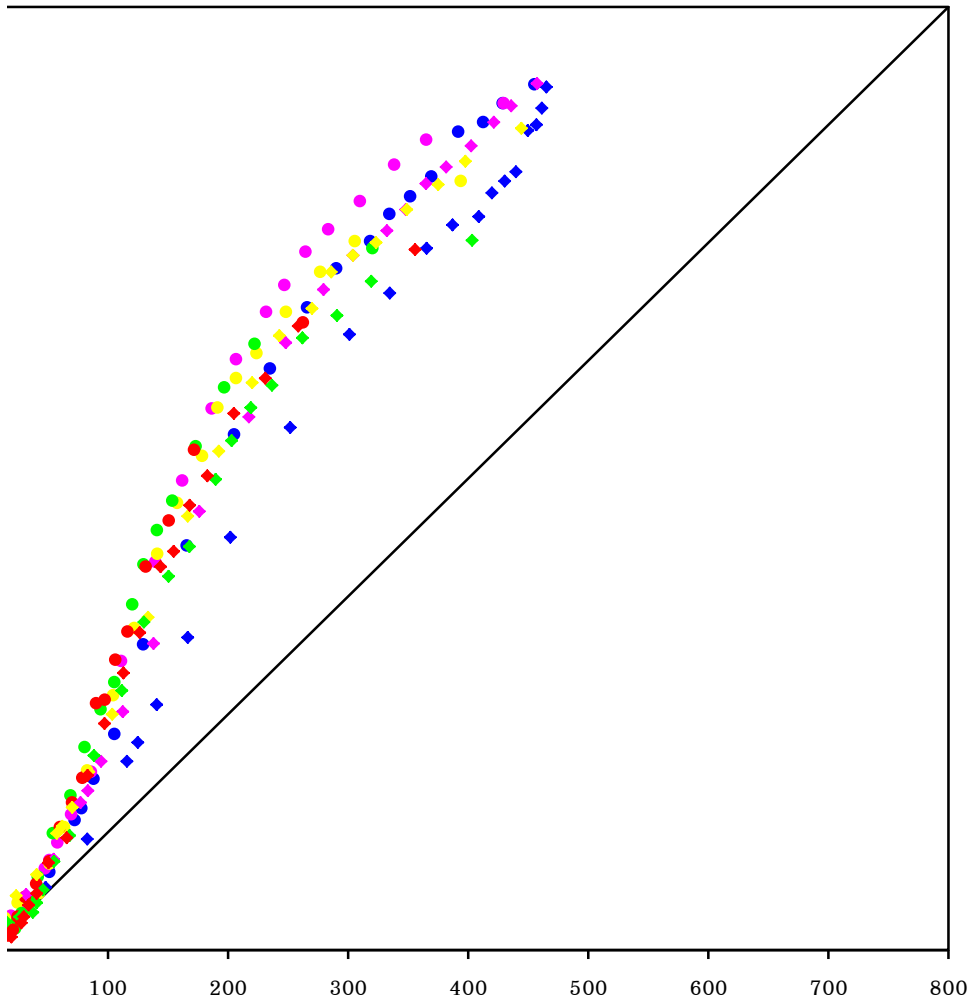
150 mm. slab 200 mm. slab 300 mm. slab 400 mm. slab
 150 mm. square 200 mm. square 300 mm. square 400 mm. square



หัตถ์ของผลการทดสอบกับผลการคำนวณของวิธีการของบาซอน ปี 1978

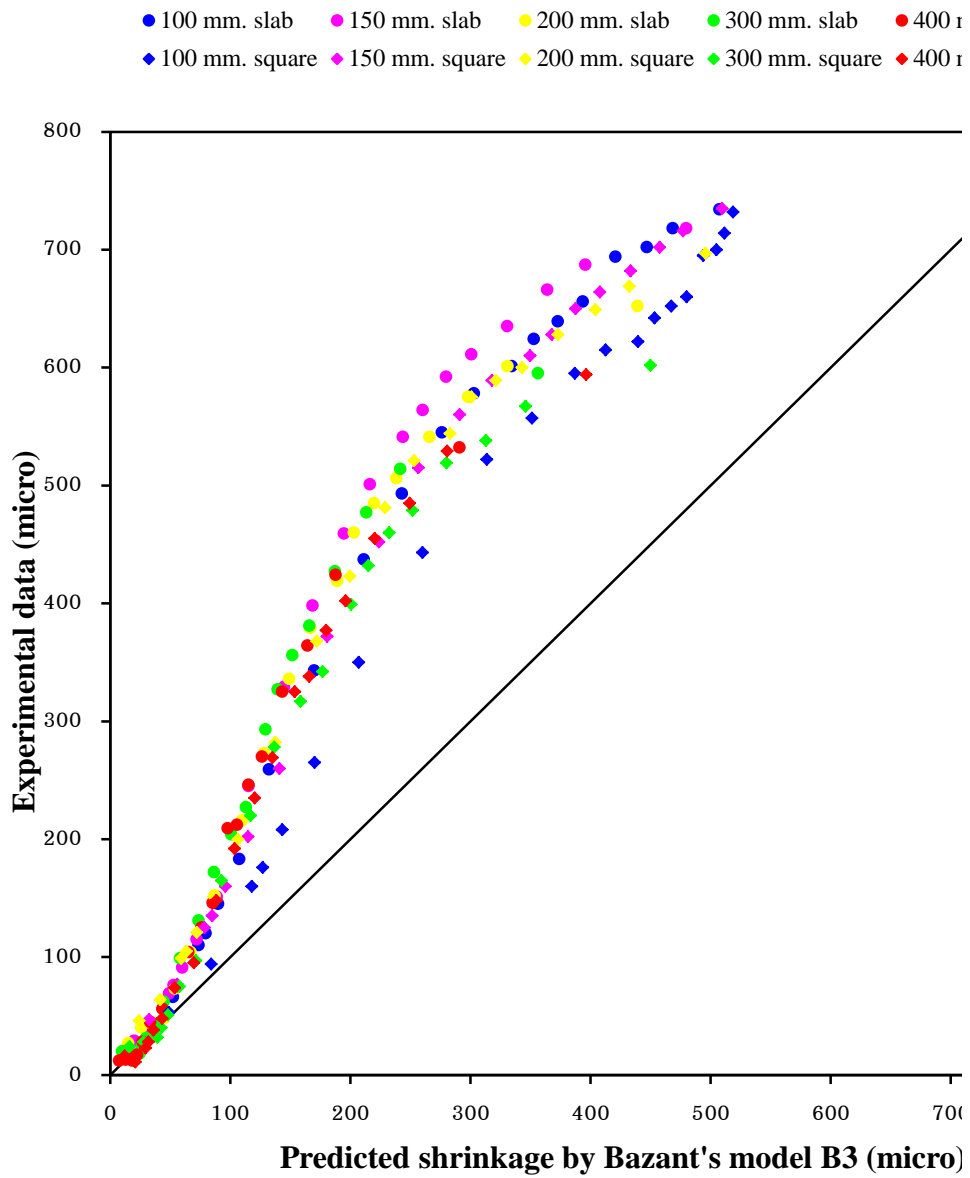
ภาพที่ 4.41

- 100 mm. slab ● 150 mm. slab ● 200 mm. slab ● 300 mm. slab ● 400 mm. slab
- ◆ 100 mm. square ◆ 150 mm. square ◆ 200 mm. square ◆ 300 mm. square ◆ 400 mm. square



Predicted shrinkage by Bazant's model BP-KX (micro)

แสดงค่าการหดตัวของผลการทดสอบกับผลการคำนวณของวิธีการของบาซอน ปี 1991



ภาพที่ 4.42 แสดงค่าการหดตัวของผลการทดสอบกับผลการคำนวณของวิธีการของบาซัน ปี 1

mm. slab
mm. square



0 800

)

.995